

TP 3 : Modèle géométrique inverse (MGI) d'un bras manipulateur

Objectif :

L'objectif de ce TP est l'étude du modèle géométrique inverse de deux Robots bras manipulateur RRRR et RRRRR, après avoir vu leur modélisation (TP1) et leur modèle géométrique direct (TP2). Le modèle géométrique inverse d'un robot bras manipulateur consiste en la détermination de sa position angulaire (valeur des angles des articulations) à partir de sa position cartésienne (coordonnées cartésiennes de l'effecteur). Deux méthodes vont être étudiées dans ce TP : la méthode algébrique (géométrique) et la méthode analytique.

1. Modèle géométrique inverse pour bras manipulateur RRRR : CAPAX 4R

1.1 Méthode algébrique (géométrique)

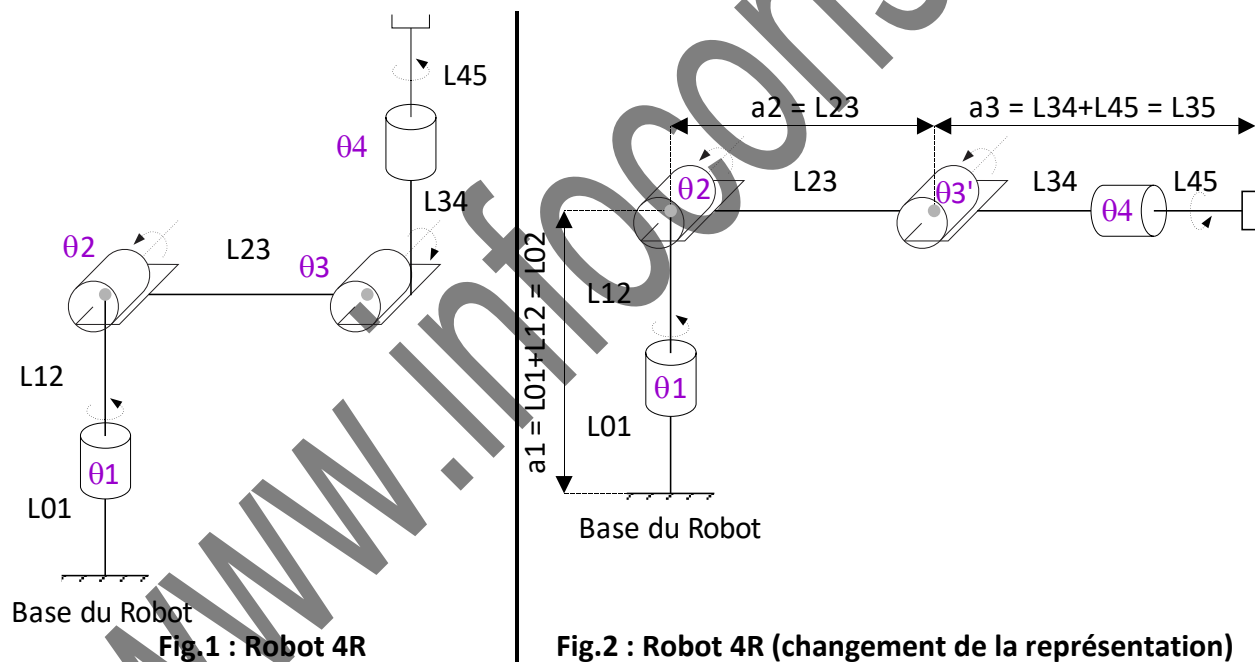
Cette méthode nous permet de calculer les expressions suivantes :

$$\theta_1 = f(P_x, P_y, P_z)$$

$$\theta_2 = f(P_x, P_y, P_z)$$

$$\theta_3 = f(P_x, P_y, P_z)$$

où $\theta_1, \theta_2, \theta_3$, désignent les angles respectifs des articulations 1, 2 et 3
 P_x, P_y, P_z : les coordonnées cartésiennes du bras manipulateur.



La figure 1 montre la modélisation du Robot 4 R. Pour simplifier les calculs dans la méthode algébrique, on va procéder à un léger changement de la représentation et passer à la représentation de la figure 2 en tenant compte que :

$$\theta_3 = -\theta_3' + \pi/2 \quad (1)$$

Le signe (-) représente le changement du sens de rotation.

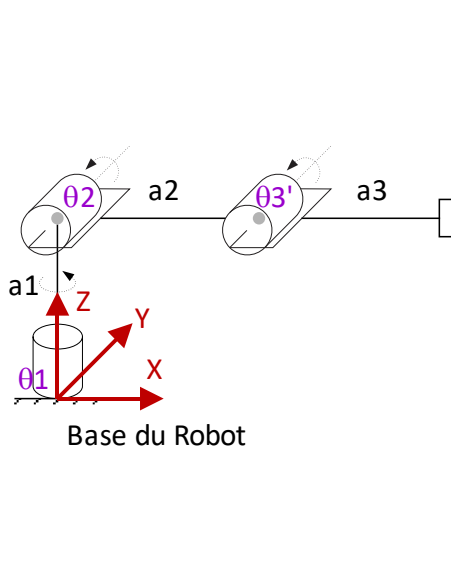


Fig. 3 : Bras simplifiée

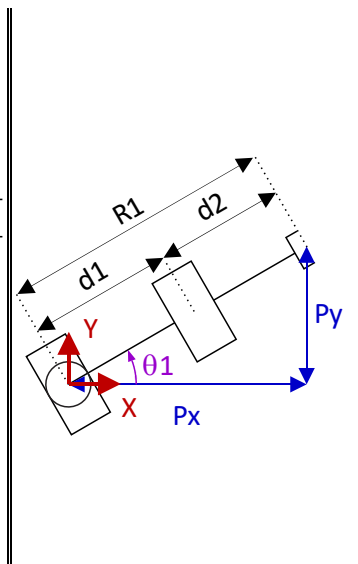


Fig. 4 : Vue de dessus

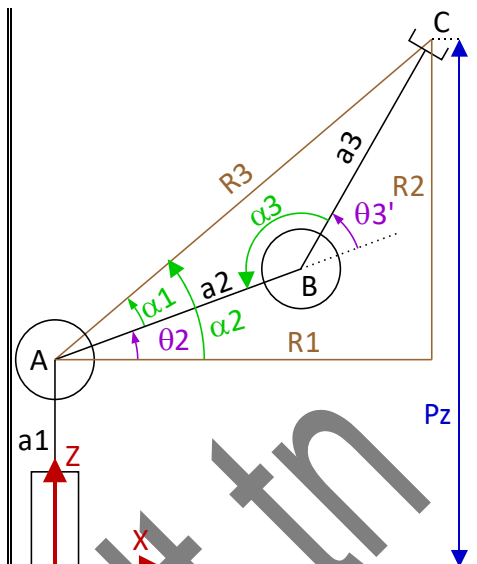


Fig. 5 : Vue de face (coude en bas)

La figure 3 représente le bras simplifié, prêt à l'étude du modèle géométrique inverse par la méthode algébrique.

Figure 4 : vue de dessus

Remarques : $d_1 \neq a_2$ et $d_2 \neq a_3$, parce que $\theta_2 \neq 0$ et $\theta_3 \neq 0$. d_1 (d_2) est la projection de a_2 (a_3) sur l'axe des X.

Exprimer θ_1 en fonction de P_x et P_y . (Triangle rectangle R1,Px,Py) $\rightarrow \theta_1 = \dots\dots\dots$ (2)

Exprimer R1 en fonction de P_x et P_y . (Triangle rectangle R1,Px,Py) $\rightarrow R1 = \dots\dots\dots$ (3)

Figure 5 : vue de face

$R1 \neq P_x$, ceci n'est vrai que si $\theta_1 = 0$, ce qui n'est pas toujours le cas.

θ_3' n'est pas défini par rapport à l'horizontale, mais plutôt par rapport à la direction du bras a_2 .

Exprimer R2 en fonction de P_z et a_1 . $\rightarrow R2 = \dots\dots\dots$ (4)

Exprimer R3 en fonction de R1 et R2 (Triangle rectangle R1,R2,R3) $\rightarrow R3 = \dots\dots\dots$ (5)

En utilisant (3), (4) et (5), exprimer R3 en fonction de P_x , P_y , P_z et a_1 $\rightarrow R3 = \dots\dots\dots$ (6)

Exprimer α_2 en fonction de R1 et R2 (Triangle rectangle R1,R2,R3) $\rightarrow \alpha_2 = \dots\dots\dots$ (7)

Exprimer α_1 en fonction de a_2 , a_3 et R3 (Triangle a2,a3,R3) $\rightarrow \alpha_1 = \dots\dots\dots$ (8)

Exprimer θ_2 en fonction de α_2 et α_1 , $\rightarrow \theta_2 = \dots\dots\dots$ (9)

En utilisant (7), (8) et (9), exprimer θ_2 en fonction de R1, R2, R3, a_2 et a_3 \rightarrow

$\theta_2 = \dots\dots\dots$ (10)

Exprimer θ_3 en fonction de α_3 , $\rightarrow \theta_3 = \dots\dots\dots$ (11)

Exprimer α_3 en fonction de a_2, a_3 et R_3 (triangle a_2, a_3, R_3) \rightarrow

$\alpha_3 = \dots\dots\dots$ (12)

Exprimer θ_3 en fonction de $\alpha_3 \rightarrow \theta_3 = \dots\dots\dots$ (13)

En utilisant (1) et (13), exprimer θ_3 en fonction de a_2, a_3 et $R_3 \rightarrow$

$\theta_3 = \dots\dots\dots$ (14)

La figure 6 (vue de face coude en haut) montre la deuxième solution possible pour une autre position du bras avec la même position de l'effecteur (mêmes coordonnées cartésiennes : P_x, P_y et P_z). Cette nouvelle position est schématisée en couleur orange. Elle est matérialisée par le triangle (A, D, C) et les nouveaux angles θ_{21} et θ_{31} .

En utilisant (1), $\theta_{31} = -\theta_{31}' + \pi/2 \dots\dots\dots$ (15)

Exprimer θ_{21} en fonction de α_1 et α_2

$\theta_{21} = \dots\dots\dots$ (16)

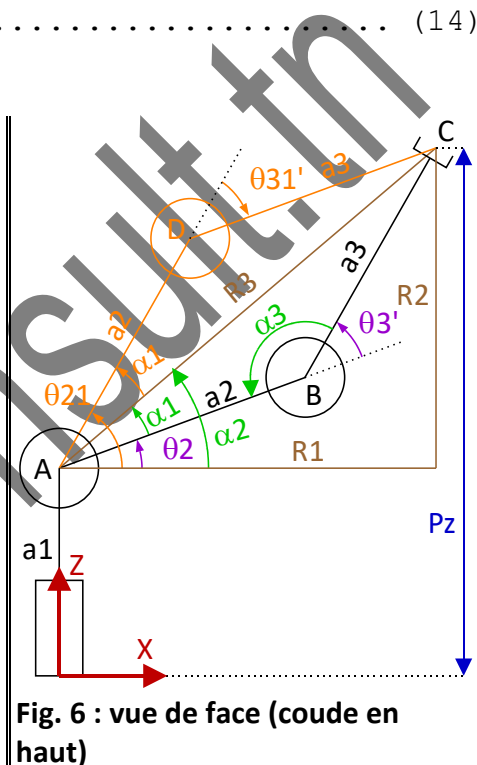


Fig. 6 : vue de face (coude en haut)

En utilisant (7), (8) et (16), exprimer θ_2 en fonction de R_1, R_2, R_3, a_2 et $a_3 \rightarrow$

$\theta_{21} = \dots\dots\dots$ (16)

$\theta_{31}' = -\theta_{31} = \alpha_3 - \pi \dots\dots\dots$ (17)

En utilisant (15), (17) et (12), exprimer θ_{31} en fonction de a_2, a_3 et $R_3 \rightarrow$

$\theta_{31} = \dots\dots\dots$ (18)

A partir de l'expression de θ_2 et θ_{21} , en déduire la condition 1 pour que ces 2 valeurs existent :

cond1 = $\dots\dots\dots$ (19)

A partir de l'expression de θ_3 et θ_{31} , en déduire la condition 2 pour que ces 2 valeurs existent :

cond2 = $\dots\dots\dots$ (20)

Faites un résumé des valeurs de θ_1 , θ_2 et θ_3 dans le tableau ci-dessous

θ_1	θ_2	θ_3
θ_1	θ_{21}	θ_{31}
θ_1	θ_{22}	θ_{32}
R1 = R2 = R3 =		
condition 1 :		condition 2 :

Ecrire un script Matlab qui permet de calculer la position angulaire du bras (angles θ_1 , θ_2 et θ_3) à partir de sa position cartésienne (P_x , P_y et P_z) en vous aidant avec l'algorithme de la figure 7.

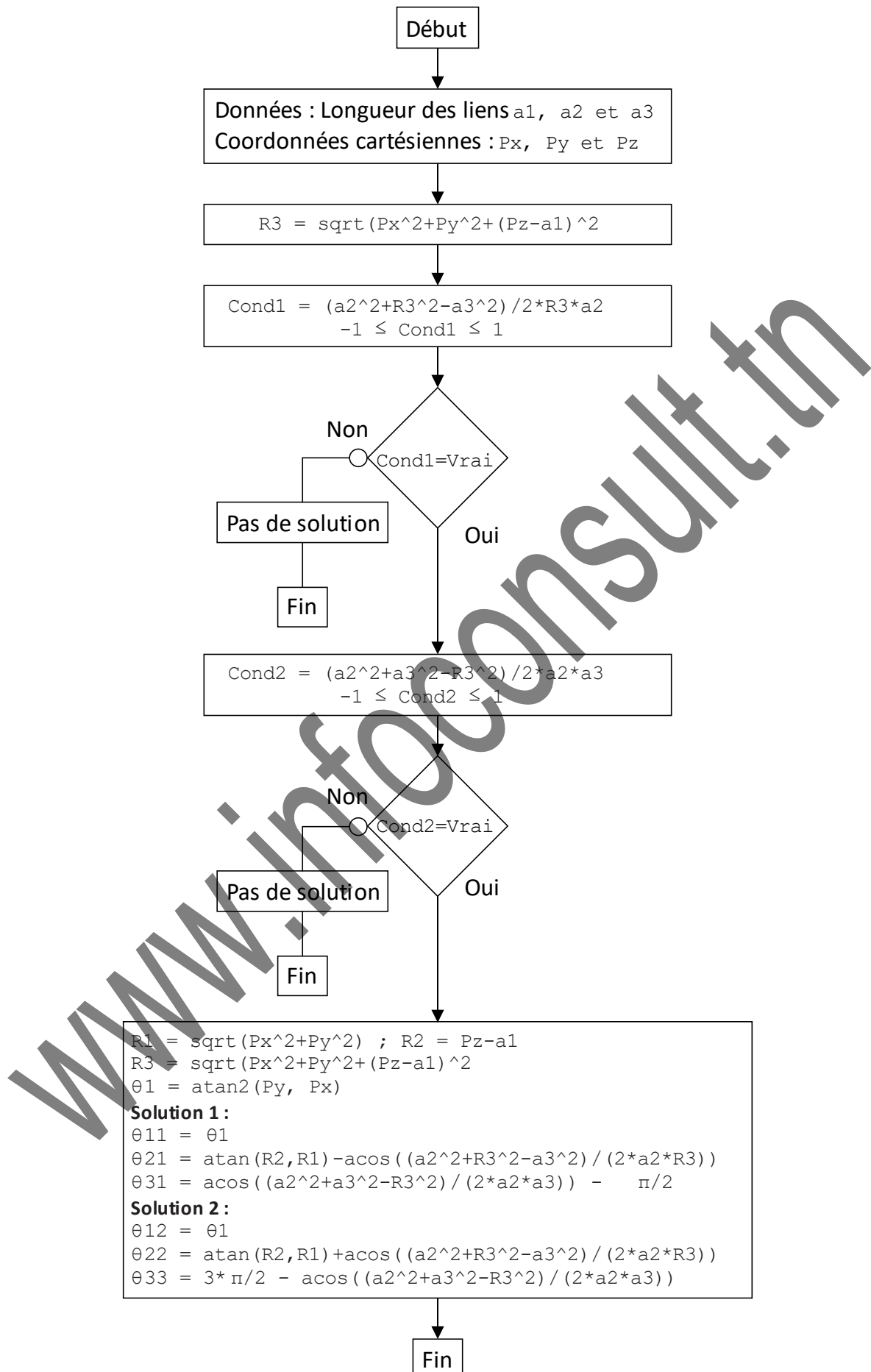


Fig. 7 : Algorithme de calcul par la méthode algébrique

1.2 Méthode analytique

Cette méthode exploite l'expression de la matrice homogène pour essayer de simplifier les équations des angles des articulations :

$${}^0_4A = {}^0_1A(\theta_1) * {}^1_2A(\theta_2) * {}^2_3A(\theta_3) * {}^3_4A(\theta_4) \quad (1.2-1)$$

$${}^0_4A = \begin{bmatrix} nx & ox & ax & Px \\ ny & oy & ay & Py \\ nz & oz & az & Pz \\ 0 & 0 & 0 & 1 \end{bmatrix}$$

P_x , P_y et P_z sont les coordonnées cartésiennes de l'effecteur par rapport à la base du robot.

Si on désigne par :

$$\begin{aligned} \cos(\theta_1) &= c_1, \cos(\theta_2) = c_2, \cos(\theta_3) = c_3, \cos(\theta_4) = c_4, \\ \sin(\theta_1) &= s_1, \sin(\theta_2) = s_2, \sin(\theta_3) = s_3, \sin(\theta_4) = s_4. \\ \cos(\theta_2-\theta_3) &= c_{23}, \sin(\theta_2-\theta_3) = s_{23} \end{aligned}$$

$$\begin{aligned} nx &= c_4 * c_1 * c_{23} - s_1 * s_4 & ox &= -c_4 * s_1 - c_1 * s_4 * c_{23} & ax &= -s_{23} * c_1 \\ ny &= c_1 * s_4 + c_4 * s_1 * c_{23} & oy &= c_1 * c_4 - s_1 * s_4 * c_{23} & ay &= -s_{23} * s_1 \\ nz &= s_{23} * c_4 & oz &= -s_{23} * s_4 & az &= c_{23} \\ Px &= c_1 * (a_2 * c_2 - d_4 * s_{23}) & Py &= c_1 * (a_2 * c_2 - d_4 * s_{23}) & Pz &= d_1 + a_2 * s_2 + d_4 * c_{23} \end{aligned}$$

En multipliant les 2 termes de l'équation (1.2-1) par $({}^0_1A(\theta_1))^{-1}$, l'équation devient :

$$({}^0_1A(\theta_1))^{-1} * {}^0_4A = ({}^0_1A(\theta_1))^{-1} * {}^0_1A(\theta_1) * {}^1_2A(\theta_2) * {}^2_3A(\theta_3) * {}^3_4A(\theta_4) \quad (1.2-2)$$

Puisque $({}^0_1A(\theta_1))^{-1} * {}^0_1A(\theta_1) = I$: matrice identité

L'équation (1.2-2) devient :

$$({}^0_1A(\theta_1))^{-1} * {}^0_4A = {}^1_2A(\theta_2) * {}^2_3A(\theta_3) * {}^3_4A(\theta_4) \quad (1.2-3)$$

On aura le système d'équation suivant :

$$\begin{cases} Px * \cos(\theta_1) + Py * \sin(\theta_1) = a_2 * \cos(\theta_2) - d_4 * \sin(\theta_2 - \theta_3) & (1.2-4) \\ Pz - d_1 = a_2 * \sin(\theta_2) + d_4 * \cos(\theta_2 - \theta_3) & (1.2-5) \\ Px * \sin(\theta_1) - Py * \cos(\theta_1) = 0 & (1.2-6) \end{cases}$$

A partir de (1.2-6), exprimer θ_1 en fonction de P_x et $P_y \rightarrow$

$$\theta_1 = \quad (1.2-7)$$

θ_1 étant connu, on pose :

$$u = P_x \cdot \cos(\theta_1) + P_y \cdot \sin(\theta_1) \quad (1.2-8)$$

$$v = P_z - d_1 \quad (1.2-9)$$

Le système d'équation devient :

$$\begin{cases} u = a_2 \cdot \cos(\theta_2) - d_4 \cdot \sin(\theta_2 - \theta_3) & (1.2-10) \\ v = a_2 \cdot \sin(\theta_2) + d_4 \cdot \cos(\theta_2 - \theta_3) & (1.2-11) \end{cases}$$

En exploitant la propriété des fonctions trigonométriques (voir annexe 1),

Calculer puis simplifier l'expression : $(1.2-10)^2 + (1.2-11)^2$

En déduire l'expression de $\sin(\theta_3)$ en fonction de u , v , a_2 et d_4 →

$$\sin(\theta_3) = \quad (1.2-12)$$

On pose

$$w_1 = u^2 + v^2 - a_2^2 - d_4^2 / 2 \cdot a_2 \cdot d_4$$

Comme $0 \leq \theta_3 \leq \pi$ → $\theta_3 \geq 0$ → $0 \leq \sin(\theta_3) \leq 1$

Définir une condition sur w_1 qui vérifie l'inégalité ci-dessus

Condition 1 : (1.2-13)

Dans ce cas

Exprimer $\cos(\theta_3)$ en fonction de w_1 →

$$\cos(\theta_3) = \quad (1.2-14)$$

Déterminer alors les 2 valeurs possibles de θ_3 en fonction de w_1 : θ_{31} et θ_{32} →

$$\theta_{31} = \quad (1.2-15)$$

$$\theta_{32} = \quad (1.2-16)$$

2^{ème} transformation :

En multipliant les 2 termes de l'équation (1.2-3) par $({}^2_1A(\theta_1))^{-1}$, on aura :

$$({}^2_1A(\theta_1))^{-1} * ({}^0_1A(\theta_1))^{-1} * {}^0_4A = ({}^2_1A(\theta_1))^{-1} * {}^1_2A(\theta_2) * {}^2_3A(\theta_3) * {}^3_4A(\theta_4) \quad (1.2-17)$$

Puisque $({}^1_2A(\theta_1))^{-1} * {}^1_2A(\theta_1) = I$: matrice identité

L'équation (1.2-17) devient

$$({}^1_2A(\theta_1))^{-1} * ({}^0_1A(\theta_1))^{-1} * {}^0_4A = {}^2_3A(\theta_3) * {}^3_4A(\theta_4) \quad (1.2-18)$$

Après identification des termes, on aura le système d'équation suivant :

$$\begin{cases} v \cdot \sin(\theta_2) + u \cdot \cos(\theta_2) = d_4 \cdot \sin(\theta_3) + a_2 & (1.2-19) \\ v \cdot \cos(\theta_2) - u \cdot \sin(\theta_2) = d_4 \cdot \cos(\theta_3) & (1.2-20) \end{cases}$$

u et v étant définis précédemment.

θ_3 étant calculée précédemment en θ_{31} et θ_{32}

On pose

$$w_{21} = d_4 \sin(\theta_{31}) + a_2 \tag{1.2-21}$$

$$w_{22} = d_4 \sin(\theta_{32}) + a_2 \tag{1.2-22}$$

$$(1.2-19) \text{ et } (1.2-21) \rightarrow u \cos(\theta_2) + v \sin(\theta_2) = w_{21} \tag{1.2-23}$$

$$(1.2-19) \text{ et } (1.2-22) \rightarrow u \cos(\theta_2) + v \sin(\theta_2) = w_{22} \tag{1.2-24}$$

Pour la résolution de ce type d'équation, se référer à l'annexe 1 (équation de type 6) dont la démonstration est comme suit :

on pose :

$$u = R \cos(q) \tag{1.2-25}$$

$$v = R \sin(q) \tag{1.2-26}$$

avec :

$$R = \sqrt{u^2 + v^2} \tag{1.2-27}$$

$$q = \text{atan2}(v, u) \tag{1.2-28}$$

$$(1.2-23), (1.2-25) \text{ et } (1.2-26) \rightarrow \cos(q) \cos(\theta_{21}) + \sin(q) \sin(\theta_{21}) = w_{21}/R \tag{1.2-29}$$

L'équation ci-dessus est de la forme $\cos(A_1 - B_1) = w_{21}/R$

Identifier A1 et B1 ?

$$A_1 = \dots \tag{1.2-30}$$

$$B_1 = \dots \tag{1.2-31}$$

En déduire la valeur de θ_{21} et la condition y afférente.

$$\theta_{21} = \dots$$

$$\text{condition}_2 \rightarrow \dots$$

et, de la même manière

$$(1.2-24), (1.2-25) \text{ et } (1.2-26) \rightarrow \cos(q) \cos(\theta_{22}) + \sin(q) \sin(\theta_{22}) = w_{22}/R$$

L'équation ci-dessus est de la forme $\cos(A_2 - B_2) = w_{22}/R$

Identifier A2 et B2 ?

$$A_2 = \dots \tag{1.2-32}$$

$$B_2 = \dots \tag{1.2-33}$$

En déduire la valeur de θ_{22} et la condition y afférente.

$$\theta_{22} = \dots$$

$$\text{condition}_3 \rightarrow \dots$$

Faites un résumé des valeurs de θ_1 , θ_2 et θ_3 dans le tableau ci-dessous

θ_1	θ_2	θ_3
θ_1	θ_{21}	θ_{31}
θ_1	θ_{22}	θ_{32}
$u = P_x \cdot \cos(\theta_1) + P_y \cdot \sin(\theta_1) ; v = P_z - d_1 ; R = \text{sqrt}(u^2 + v^2)$ $w_1 = (u^2 + v^2 - a^2 - d_4^2) / 2 \cdot a \cdot d_4 ;$ $w_{21} = d_4 \cdot \sin(\theta_{31}) + a_2 ; w_{22} = d_4 \cdot \sin(\theta_{32}) + a_2$		
Condition 1 :	Condition 2 :	Condition 3 :

Ecrire un script Matlab qui permet de calculer la position angulaire du bras (angles θ_1 , θ_2 et θ_3) à partir de sa position cartésienne (P_x , P_y et P_z) en vous aidant avec l'algorithme de la figure 8.

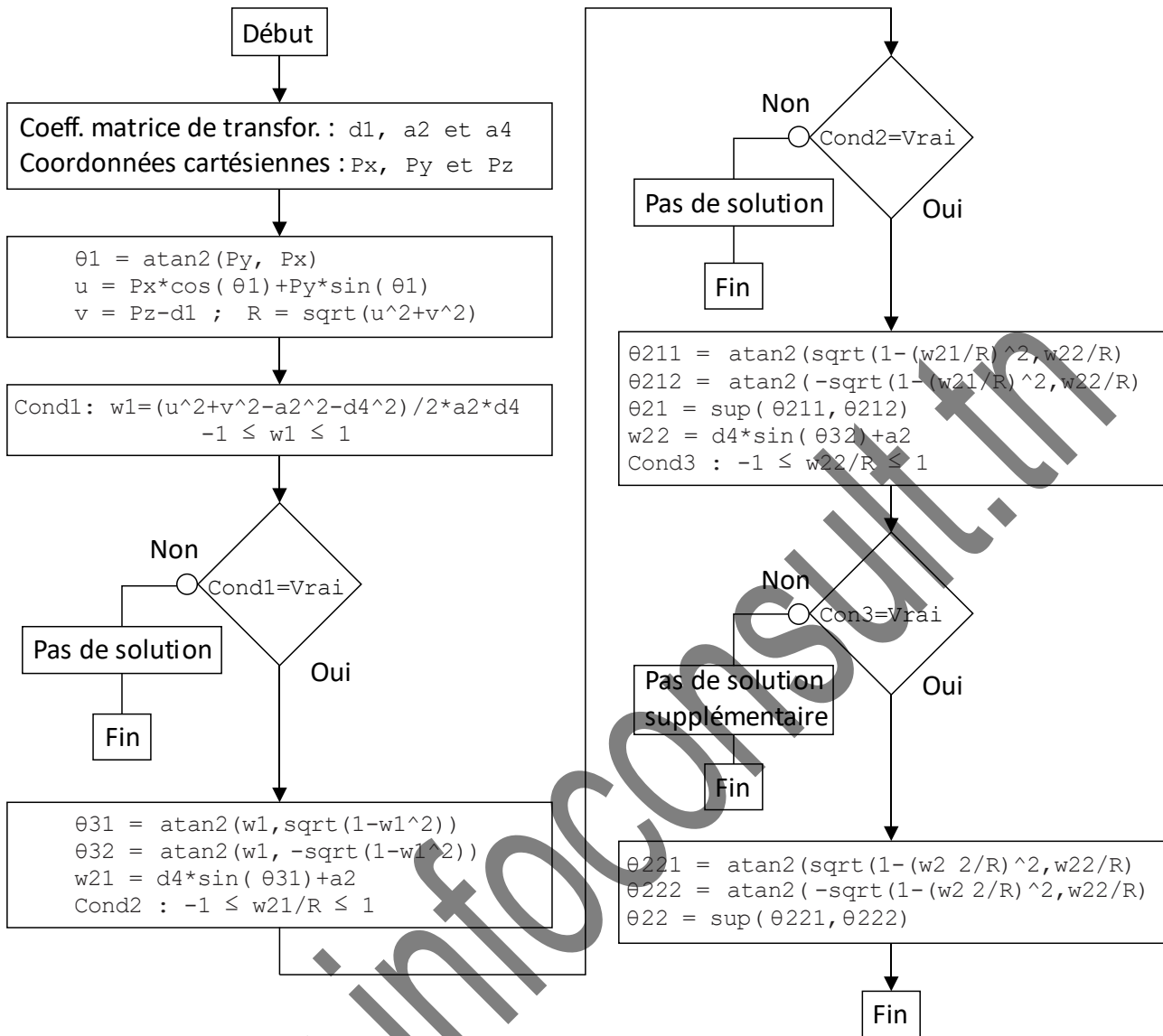


Fig. 8 : Algorithme de calcul par la méthode analytique

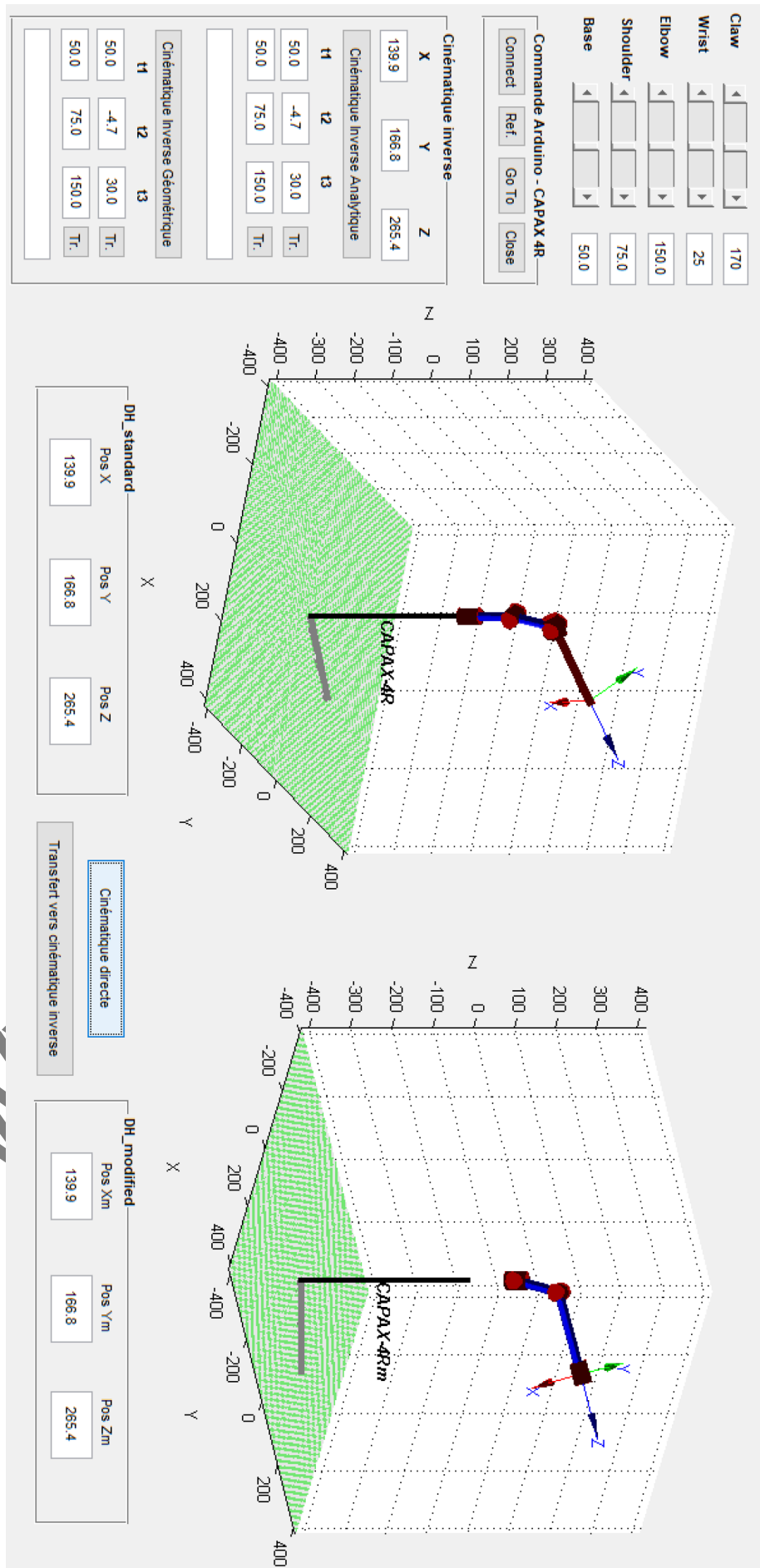


Fig. 9 : Interface Matlab Robot 4R

2. Modèle géométrique inverse pour bras manipulateur RRRRR : CAPAX 5R

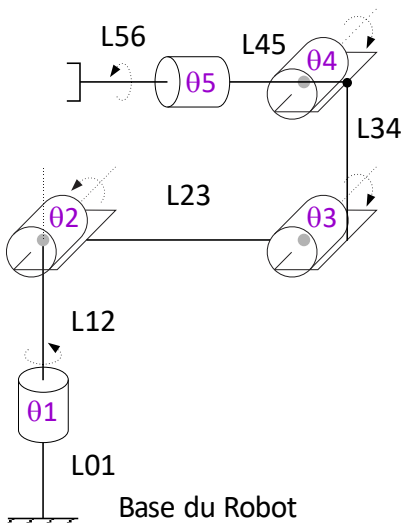


Fig. 10 : Robot 5R

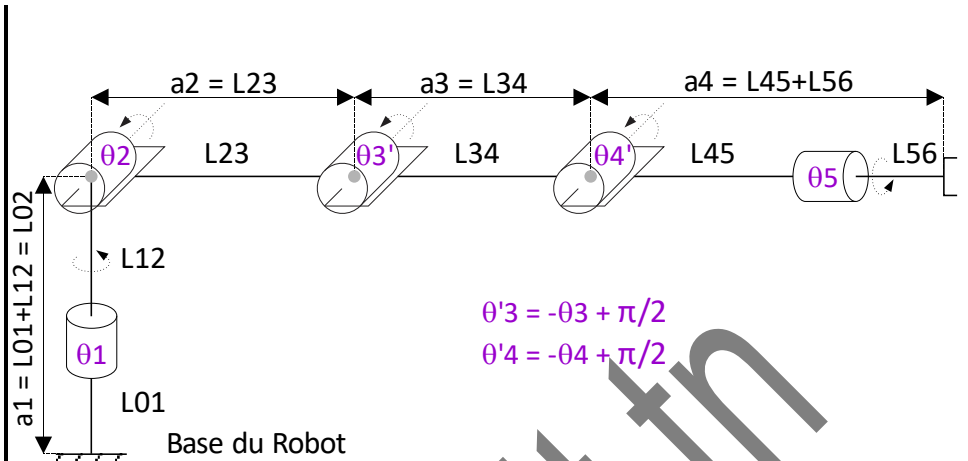


Fig. 11 : Robot 5R (changement de la représentation)

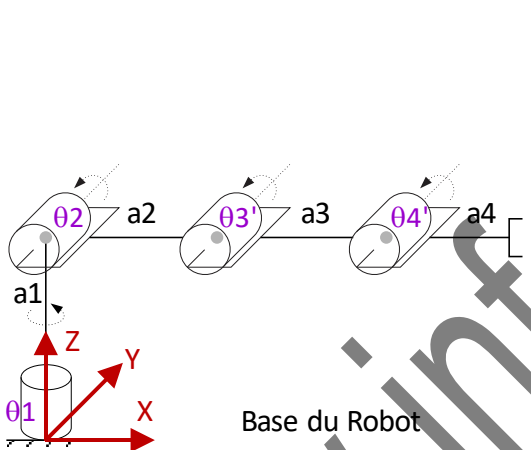


Fig. 12 : Robot 5R (représentation simplifiée)

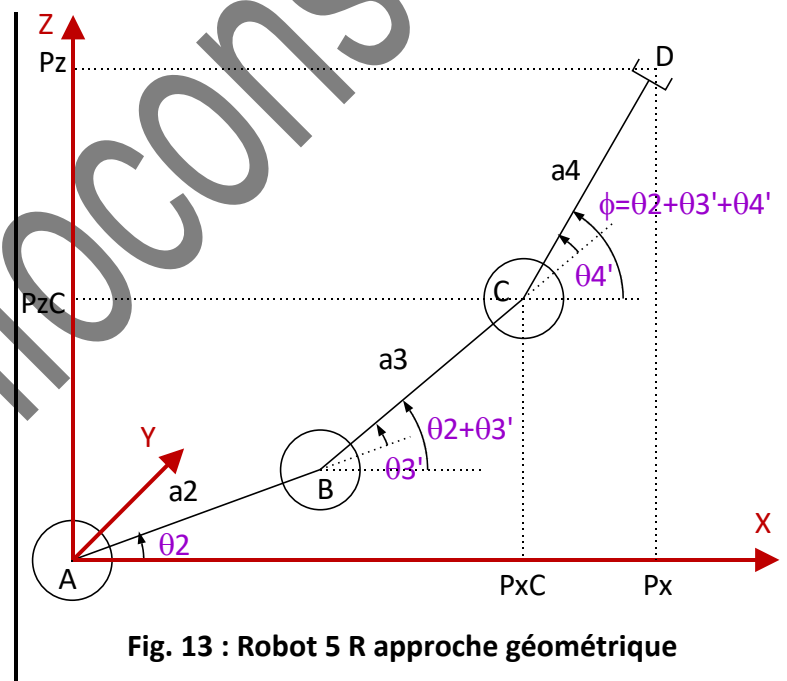


Fig. 13 : Robot 5 R approche géométrique

2.1 Méthode algébrique (géométrique) avec condition ($\phi = \theta_2 + \theta_3' + \theta_4'$)

Cette méthode nous permet de calculer les expressions suivantes :

$\theta_1 = f(P_x, P_y, P_z)$

$\theta_2 = f(P_x, P_y, P_z)$

$\theta_3 = f(P_x, P_y, P_z)$

$\theta_4 = f(P_x, P_y, P_z)$

où $\theta_1, \theta_2, \theta_3$ et θ_4 désignent les angles respectifs des articulations 1, 2, 3 et 4.

P_x, P_y, P_z : les coordonnées cartésiennes du bras manipulateur.

C'est un système d'équation qui admet plusieurs solutions puisque le nombre d'inconnues θ_1 , θ_2 , θ_3 et θ_4 dépassent le nombre des données P_x , P_y , P_z . Pour contrecarrer ce problème, on va ajouter une quatrième condition par exemple, on pose $\phi = \theta_2 + \theta_3 + \theta_4$.

P_x , P_y et P_z sont connues. Si on détermine P_{xC} , P_{yC} et P_{zC} , (Fig. 13), on peut ramener le robot 5R en un robot 4R et lui appliquer les formules vues au §1.1.

Dans ce cas, on peut calculer θ_2 et θ_3 . θ_4 sera calculé à partir de l'équation $\theta_4 = \phi - \theta_2 - \theta_3$

On pose : $\theta'_3 = -\theta_3 + \pi/2$, $\theta'_4 = -\theta_4 + \pi/2$

Puisqu'on travaille dans l'espace 3D, on va utiliser l'étude analytique juste pour déterminer P_{xC} , P_{yC} et P_{zC} .

Soit C : matrice de transformation homogène au point C

$${}^0_5A = {}^0_1A(\theta_1) * {}^1_2A(\theta_2) * {}^2_3A(\theta'_3) * {}^3_4A(\theta'_4) * {}^4_5A(\theta_5)$$

$$C = {}^0_3A = {}^0_1A(\theta_1) * {}^1_2A(\theta_2) * {}^2_3A(\theta'_3)$$

$${}^0_5A = \begin{bmatrix} nx & ox & ax & Px \\ ny & oy & ay & Py \\ nz & oz & az & Pz \\ 0 & 0 & 0 & 1 \end{bmatrix} \quad \left| \quad \begin{bmatrix} nx & ox & ax & P_{xC} \\ ny & oy & ay & P_{yC} \\ nz & oz & az & P_{zC} \\ 0 & 0 & 0 & 1 \end{bmatrix}$$

Après identification, on trouve :

$$P_x = P_{xC} + a_4 * \cos(\theta_1) * \cos(\phi) \quad \rightarrow \quad P_{xC} = P_x - a_4 * \cos(\theta_1) * \cos(\phi)$$

$$P_y = P_{yC} + a_4 * \sin(\theta_1) * \cos(\phi) \quad \rightarrow \quad P_{yC} = P_y - a_4 * \sin(\theta_1) * \cos(\phi)$$

$$P_z = P_{zC} + a_4 * \sin(\phi) \quad \rightarrow \quad P_{zC} = P_z - a_4 * \sin(\phi)$$

2.1.1 Première solution : coude en bas

Pour le calcul de θ_2 et θ'_3 , on exploitera les résultats déjà calculés au §1.1 (méthode algébrique pour Robot 4R), en remplaçant (P_x, P_y, P_z) par (P_{xC}, P_{yC}, P_{zC}) .

Puisque $\phi = \theta_2 + \theta'_3 + \theta'_4 \rightarrow \theta'_4 = \phi - \theta_2 - \theta'_3$.

avec :

$$\theta_3 = -\theta'_3 + \pi/2 \quad (2.1-1)$$

$$\theta_4 = -\theta'_4 + \pi/2 \quad (2.1-2)$$

Le signe (-) représente le changement du sens de rotation.

En procédant de la sorte, le schéma du bras, ramené au point C devient :

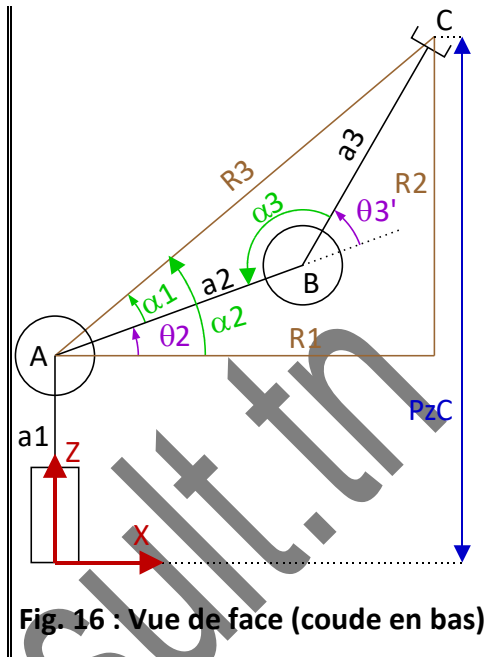
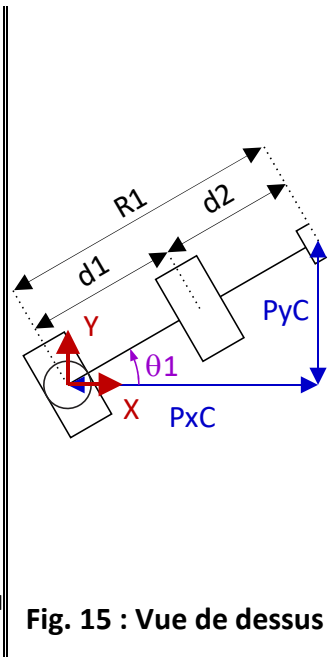
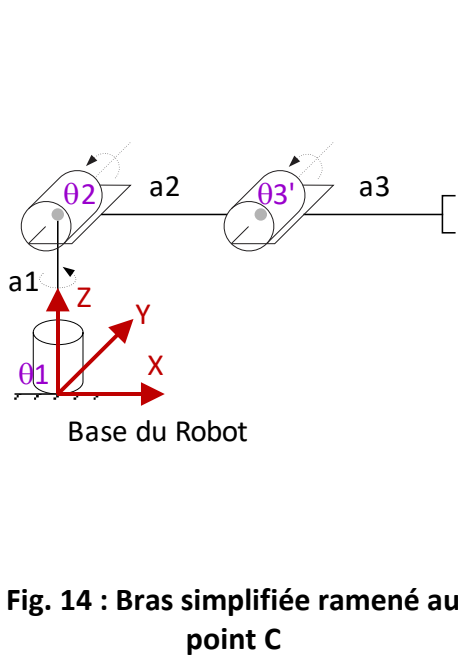


Fig. 14 : Bras simplifiée ramené au point C

Fig. 15 : Vue de dessus

Fig. 16 : Vue de face (coude en bas)

Figure 15 : vue de dessus

Remarques : $d1 \neq a2$ et $d2 \neq a3$, parce que $\theta_2 \neq 0$ et $\theta_3 \neq 0$. $d1$ ($d2$) est la projection de $a2$ ($a3$) sur l'axe des X.

Exprimer θ_1 en fonction de PxC et PyC . (Triangle rectangle $R1, PxC, PyC$) →

$\theta_1 = \dots \dots \dots$ (2.1-3)

Exprimer $R1$ en fonction de PxC et PyC . (Triangle rectangle $R1, PxC, PyC$) →

$R1 = \dots \dots \dots$ (2.1-4)

Figure 16 : vue de face

$R1 \neq PxC$, ceci n'est vrai que si $\theta_1 = 0$, ce qui n'est pas toujours le cas.

θ_3' n'est pas défini par rapport à l'horizontale, mais plutôt par rapport à la direction du bras $a2$.

Exprimer $R2$ en fonction de PzC et $a1$. → $R2 = \dots \dots \dots$ (2.1-5)

Exprimer $R3$ en fonction de $R1$ et $R2$ (Triangle rectangle $R1, R2, R3$) →

$R3 = \dots \dots \dots$ (2.1-6)

En utilisant (3), (4) et (5), exprimer $R3$ en fonction de PxC , PyC , PzC et $a1$ →

$R3 = \dots \dots \dots$ (2.1-7)

Exprimer α_2 en fonction de R_1 et R_2 (Triangle rectangle R_1, R_2, R_3) →

$$\alpha_2 = \dots\dots\dots (2.1-8)$$

Exprimer α_1 en fonction de a_2 , a_3 et R_3 (Triangle a_2, a_3, R_3) →

$$\alpha_1 = \dots\dots\dots (2.1-9)$$

Exprimer θ_2 en fonction de α_2 et α_1 , → $\theta_2 = \dots\dots\dots (2.1-10)$

En utilisant (2.1-8), (2.1-9) et (2.1-10), exprimer θ_2 en fonction de R_1 , R_2 , R_3 , a_2 et a_3 →

$$\theta_2 = \dots\dots\dots (2.1-11)$$

Exprimer θ'_3 en fonction de α_3 , → $\theta'_3 = \dots\dots\dots (2.1-12)$

Exprimer α_3 en fonction de a_2 , a_3 et R_3 (triangle a_2 , a_3 , R_3) →

$$\alpha_3 = \dots\dots\dots (2.1-13)$$

Exprimer θ'_3 en fonction de α_3 → $\theta'_3 = \dots\dots\dots (2.1-14)$

En utilisant (2.1-2) et (2.1-14), exprimer θ_3 en fonction de a_2 , a_3 et R_3 →

$$\theta_3 = \dots\dots\dots (2.1-15)$$

La figure 6 (vue de face coude en haut) montre la deuxième solution possible pour une autre position du bras avec la même position de l'effecteur (mêmes coordonnées cartésiennes : P_xC , P_yC et P_zC). Cette nouvelle position est schématisée en couleur orange. Elle est matérialisée par le triangle (A, D, C) et les nouveaux angles θ_{21} et θ_{31} .

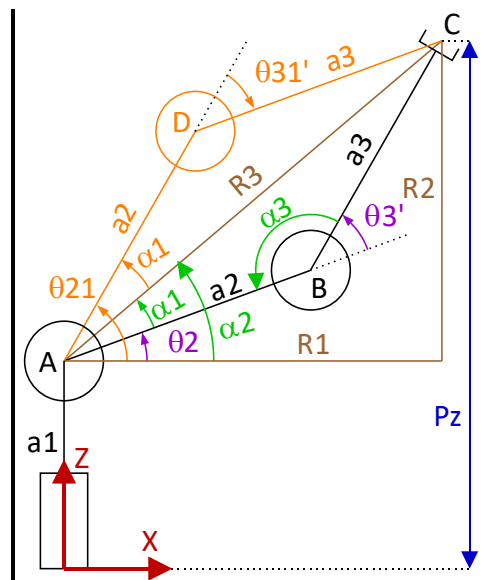


Fig. 6 : vue de face (coude en haut)

En utilisant (2.1-2), $\theta_{31} = -\theta_{31}' + \pi/2 \dots\dots\dots (2.1-16)$

Exprimer θ_{21} en fonction de α_1 et α_2

$$\theta_{21} = \dots\dots\dots (2.1-17)$$

En utilisant (2.1-8), (2.1-9) et (2.1-17), exprimer θ_2 en fonction de R_1, R_2, R_3, a_2 et $a_3 \rightarrow$

$$\theta_{21} = \dots\dots\dots (2.1-17)$$

$$\theta_{31}' = -\theta_{31} = \alpha_3 - \pi \quad (2.1-18)$$

En utilisant (2.1-13), (2.1-16) et (2.1-18), exprimer θ_{31} en fonction de a_2, a_3 et $R_3 \rightarrow$

$$\theta_{31} = \dots\dots\dots (2.1-19)$$

A partir de l'expression de θ_{21} et θ_{22} , en déduire la condition 1 pour que ces 2 valeurs existent :

$$\text{cond1} = \dots\dots\dots (2.1-20)$$

A partir de l'expression de θ_{31} et θ_{32} , en déduire la condition 2 pour que ces 2 valeurs existent :

$$\text{cond2} = \dots\dots\dots (2.1-21)$$

Faites un résumé des valeurs de $\theta_1, \theta_2, \theta_3$ et θ_4 dans le tableau ci-dessous

Solution 1	$\theta_1 = \dots\dots\dots$ $\theta_{21} = \dots\dots\dots$ $\theta_{31} = \dots\dots\dots$ $\theta_{41} = \dots\dots\dots$
Solution 2	$\theta_1 = \dots\dots\dots$ $\theta_{21} = \dots\dots\dots$ $\theta_{31} = \dots\dots\dots$ $\theta_{41} = \dots\dots\dots$
$R_1 = \dots\dots\dots$ $R_2 = \dots\dots\dots$ $R_3 = \dots\dots\dots$	
condition 1 :	condition 2 :
.....

Ecrire un script Matlab qui permet de calculer la position angulaire du bras (angles $\theta_1, \theta_2, \theta_3$ et θ_4) à partir de sa position cartésienne (P_xC, P_yC et P_zC) et la somme des angles ϕ en vous aidant avec l'algorithme de la figure 7.

2.2 Méthode analytique : Méthode de Paul

Cette méthode exploite l'expression de la matrice homogène pour essayer de simplifier les équations des angles des articulations :

$${}^0_5A = {}^0_1A(\theta_1) * {}^1_2A(\theta_2) * {}^2_3A(\theta_3) * {}^3_4A(\theta_4) * {}^4_5A(\theta_5) \quad (2.2-1)$$

$${}^0_5A = \begin{bmatrix} nx & ox & ax & Px \\ ny & oy & ay & Py \\ nz & oz & az & Pz \\ 0 & 0 & 0 & 1 \end{bmatrix}$$

si on pose :

$$\cos(\theta_1)=c1, \cos(\theta_2)=c2, \cos(\theta_3)=c3, \cos(\theta_4)=c4, \cos(\theta_5)=c5$$

$$\sin(\theta_1)=s1, \sin(\theta_2)=s2, \sin(\theta_3)=s3, \sin(\theta_4)=s4, \sin(\theta_5)=s5$$

$$\cos(\theta_2-\theta_3)=c23, \sin(\theta_2-\theta_3)=s23$$

$$\cos(\theta_2-\theta_3-\theta_4)=c234, \sin(\theta_2-\theta_3-\theta_4)=s234$$

$${}^0_5A = \begin{bmatrix} -c5 * c1 * s234 - s1 * s5 & s5 * c1 * s234 - c5 * s1 & -c1 * c234 & c1 * (a2 * c2 - a3 * s23 - d5 * c234) \\ c1 * s5 - c5 * s1 * s234 & c1 * c5 + s5 * s1 * s234 & -s1 * c234 & s1 * (a2 * c2 - a3 * s23 - d5 * c234) \\ c234 * c5 & s5 * c234 & -s234 & d1 + a2 * s2 + a3 * c23 - d5 * s234 \\ 0 & 0 & 0 & 1 \end{bmatrix}$$

On pose :

$${}^0_5A(1,4) = Px, \quad {}^0_5A(2,4) = Py, \quad {}^0_5A(3,4) = Pz$$

Alors :

$${}^0_5A = \begin{bmatrix} -c5 * c1 * s234 - s1 * s5 & s5 * c1 * s234 - c5 * s1 & -c1 * c234 & Px \\ c1 * s5 - c5 * s1 * s234 & c1 * c5 + s5 * s1 * s234 & -s1 * c234 & Py \\ c234 * c5 & s5 * c234 & -s234 & Pz \\ 0 & 0 & 0 & 1 \end{bmatrix}$$

En multipliant les 2 termes de l'équation (2.2-1) par $({}^0_1A(\theta_1))^{-1}$, elle devient :

$$({}^0_1A(\theta_1))^{-1} * {}^0_5A = ({}^0_1A(\theta_1))^{-1} * {}^0_1A(\theta_1) * {}^1_2A(\theta_2) * {}^2_3A(\theta_3) * {}^3_4A(\theta_4) * {}^4_5A(\theta_5) \quad (2.2-2)$$

Puisque $({}^0_1A(\theta_1))^{-1} * {}^0_1A(\theta_1) = I$: matrice identité

L'équation (2.2-2) devient :

$$({}^0_1A(\theta_1))^{-1} * {}^0_5A = {}^1_2A(\theta_2) * {}^2_3A(\theta_3) * {}^3_4A(\theta_4) * {}^4_5A(\theta_5) \quad (2.2-3)$$

En multipliant les 2 termes de l'équation (2.2-3) par $({}^1_2A(\theta_2))^{-1}$, elle devient :

$$({}^1_2A(\theta_2))^{-1} * ({}^0_1A(\theta_1))^{-1} * {}^0_5A = ({}^1_2A(\theta_2))^{-1} * {}^1_2A(\theta_2) * {}^2_3A(\theta_3) * {}^3_4A(\theta_4) * {}^4_5A(\theta_5) \quad (2.2-4)$$

Puisque $({}^1_2A(\theta_2))^{-1} * {}^1_2A(\theta_2) = I$: matrice identité

L'équation (2.2-4) devient :

$$({}^1_2A(\theta_2))^{-1} * ({}^0_1A(\theta_1))^{-1} * {}^0_5A = {}^2_3A(\theta_3) * {}^3_4A(\theta_4) * {}^4_5A(\theta_5) \quad (2.2-5)$$

On aura le système d'équation suivant : (2.2-S1)

$$\begin{cases} v \cdot \sin(\theta_2) + u \cdot \cos(\theta_2) - a_2 = a_3 \cdot \sin(\theta_3) - d_5 \cdot \cos(\theta_3 + \theta_4) & (2.2-6) \\ v \cdot \cos(\theta_2) - u \cdot \sin(\theta_2) = a_3 \cdot \cos(\theta_3) + d_5 \cdot \sin(\theta_3 + \theta_4) & (2.2-7) \\ P_x \cdot \sin(\theta_1) - P_y \cdot \cos(\theta_1) = 0 & (2.2-8) \end{cases}$$

Avec

$$u = P_x \cdot \cos(\theta_1) + P_y \cdot \sin(\theta_1) \quad (2.2-9)$$

$$v = P_z - d_1 \quad (2.2-10)$$

En multipliant les 2 termes de l'équation (2.2-5) par $({}^2_3A(\theta_3))^{-1}$, elle devient :

$$({}^2_3A(\theta_3))^{-1} * ({}^1_2A(\theta_2))^{-1} * ({}^0_1A(\theta_1))^{-1} * {}^0_5A = ({}^2_3A(\theta_3))^{-1} * {}^2_3A(\theta_3) * {}^3_4A(\theta_4) * {}^4_5A(\theta_5) \quad (2.2-11)$$

Puisque $({}^2_3A(\theta_3))^{-1} * {}^2_3A(\theta_3) = I$: matrice identité

L'équation (2.2-11) devient :

$$({}^2_3A(\theta_3))^{-1} * ({}^1_2A(\theta_2))^{-1} * ({}^0_1A(\theta_1))^{-1} * {}^0_5A = {}^3_4A(\theta_4) * {}^4_5A(\theta_5) \quad (2.2-12)$$

On aura le système d'équation suivant : (2.2-S2)

$$\begin{cases} v \cdot \cos(\theta_2 - \theta_3) - u \cdot \sin(\theta_2 - \theta_3) - a_2 \cdot \sin(\theta_3) - a_3 = d_5 \cdot \sin(\theta_4) & (2.2-13) \\ v \cdot \sin(\theta_2 - \theta_3) + u \cdot \cos(\theta_2 - \theta_3) - a_2 \cdot \cos(\theta_3) = -d_5 \cdot \cos(\theta_4) & (2.2-14) \\ P_x \cdot \sin(\theta_1) - P_y \cdot \cos(\theta_1) = 0 & (2.2-15) \end{cases}$$

u et v ont été spécifiées précédemment.

2.3 Méthode analytique : calcul de θ_1

A partir du système d'équation (2.2-S1)

$$(2.2-8) \rightarrow \theta_1 = \text{atan2}(P_y, P_x) \quad (2.3-1)$$

θ_1 étant connue, les expressions de u (2.2-9) et v (2.2-10) le deviennent aussi.

2.4 Méthode analytique avec condition : θ_2 connue, θ_3 et θ_4 inconnues

2.4.1 Calcul de θ_3

A partir du système d'équation (2.2-S1)

$$\begin{cases} v \cdot \sin(\theta_2) + u \cdot \cos(\theta_2) - a_2 = a_3 \cdot \sin(\theta_3) - d_5 \cdot \cos(\theta_3 + \theta_4) & (2.2-6) \\ v \cdot \cos(\theta_2) - u \cdot \sin(\theta_2) = a_3 \cdot \cos(\theta_3) + d_5 \cdot \sin(\theta_3 + \theta_4) & (2.2-7) \end{cases}$$

On pose :

$$At_2 = v \cdot \sin(\theta_2) + u \cdot \cos(\theta_2) - a_2, \quad Bt_2 = -v \cdot \cos(\theta_2) + u \cdot \sin(\theta_2)$$

Le système devient :

$$\begin{cases} a_3 \cdot \sin(\theta_3) - d_5 \cdot \cos(\theta_3 + \theta_4) = At_2 & (2.4-1) \\ -a_3 \cdot \cos(\theta_3) - d_5 \cdot \sin(\theta_3 + \theta_4) = Bt_2 & (2.4-2) \end{cases} \quad (P2-2)$$

$$(2.4-1)^2 + (2.4-2)^2 \rightarrow$$

$$a_3^2 + 2 \cdot \sin(\theta_4) \cdot a_3 \cdot d_5 + d_5^2 = At_2^2 + Bt_2^2$$

$$\sin(\theta_4) = (At_2^2 + Bt_2^2 - a_3^2 - d_5^2) / (2 \cdot a_3 \cdot d_5)$$

$$0 \leq \text{Cond1} = (At_2^2 + Bt_2^2 - a_3^2 - d_5^2) / (2 \cdot a_3 \cdot d_5) \leq 1 \quad (2.4-3)$$

$$\theta_{41} = \text{asind}((At_2^2 + Bt_2^2 - a_3^2 - d_5^2) / (2 \cdot a_3 \cdot d_5)) \quad (2.4-4)$$

$$\theta_{42} = 180 - \theta_{41} \quad (2.4-5)$$

2.4.2 Calcul de θ_3

Développement de l'équation (2.2-6) \rightarrow

$$a_3 \cdot \sin(\theta_3) - d_5 \cdot \cos(\theta_3 + \theta_4) =$$

$$a_3 \cdot \sin(\theta_3) - d_5 \cdot \cos(\theta_3) \cdot \cos(\theta_4) + d_5 \cdot \sin(\theta_3) \cdot \sin(\theta_4) =$$

$$-d_5 \cdot \cos(\theta_4) \cdot \cos(\theta_3) + (a_3 + d_5 \cdot \sin(\theta_4)) \cdot \sin(\theta_3) = At_2$$

On pose :

$$At_{2t4} = -d_5 \cdot \cos(\theta_4); \quad Bt_{2t4} = a_3 + d_5 \cdot \sin(\theta_4)$$

L'équation devient :

$$At_{2t4} \cdot \cos(\theta_3) + Bt_{2t4} \cdot \sin(\theta_3) = At_2 \quad (2.4-6)$$

on pose :

$$At_{2t4} = R \cdot \cos(q) \quad (2.4-7)$$

$$Bt_{2t4} = R \cdot \sin(q) \quad (2.4-8)$$

avec :

$$R = \sqrt{At_{2t4}^2 + Bt_{2t4}^2} \quad (2.4-9)$$

$$q = \text{atan2}(Bt_{2t4}, At_{2t4}) \quad (2.4-10)$$

$$(2.4-6), (2.4-7) \text{ et } (2.4-8) \rightarrow$$

$$\cos(q) \cdot \cos(\theta_3) + \sin(q) \cdot \sin(\theta_3) = At_2 / R \quad (2.4-11)$$

L'équation ci-dessus est de la forme $\cos(\theta_3 - q) = At_2 / R$

$$\theta_{31} = \text{atan2}\left(\sqrt{1 - \left(\frac{At_2}{R}\right)^2}, \frac{At_2}{R}\right) + \text{atan2}(Bt_{2t4}, At_{2t4}) \quad (2.4-12)$$

$$\theta_{32} = \text{atan2}\left(-\sqrt{1 - \left(\frac{At_2}{R}\right)^2}, \frac{At_2}{R}\right) + \text{atan2}(Bt_{2t4}, At_{2t4}) \quad (2.4-13)$$

2.5 Méthode analytique avec condition : θ_3 connue, θ_2 et θ_4 inconnues

2.5.1 Calcul de θ_4

A partir du système d'équation (2.2-S2)

$$\begin{cases} v \cos(\theta_2 - \theta_3) - u \sin(\theta_2 - \theta_3) - a_2 \sin(\theta_3) - a_3 = d_5 \sin(\theta_4) & (2.2-13) \\ v \sin(\theta_2 - \theta_3) + u \cos(\theta_2 - \theta_3) - a_2 \cos(\theta_3) = -d_5 \cos(\theta_4) & (2.2-14) \end{cases}$$

θ_3 connue, On pose :

$$w = a_2 \sin(\theta_3) + a_3, \quad x = a_2 \cos(\theta_3)$$

Le système devient :

$$v \cos(\theta_2 - \theta_3) - u \sin(\theta_2 - \theta_3) = d_5 \sin(\theta_4) + w \quad (2.5-1)$$

$$v \sin(\theta_2 - \theta_3) + u \cos(\theta_2 - \theta_3) = -d_5 \cos(\theta_4) + x \quad (2.5-2)$$

$$(2.5-1)^2 + (2.5-2)^2 \rightarrow$$

$$-2 * d_5 * x * \cos(\theta_4) + 2 * d_5 * w * \sin(\theta_4) = u^2 + v^2 - d_5^2 - x^2 - w^2 \quad (2.5-3)$$

On pose

$$At_3 = u^2 + v^2 - d_5^2 - x^2 - w^2$$

$$At_3 t_4 = -2 * d_5 * x, \quad Bt_3 t_4 = 2 * d_5 * w$$

On pose :

$$At_3 t_4 = R \cos(q) \quad (2.5-4)$$

$$Bt_3 t_4 = R \sin(q) \quad (2.5-5)$$

avec :

$$R = \sqrt{At_3 t_4^2 + Bt_3 t_4^2} \quad (2.5-6)$$

$$q = \text{atan2}(Bt_3 t_4, At_3 t_4) \quad (2.5-7)$$

$$(2.5-3), (2.5-4) \text{ et } (2.5-5) \rightarrow$$

$$\cos(q) * \cos(\theta_4) + \sin(q) * \sin(\theta_4) = At_3 / R \quad (2.5-8)$$

L'équation ci-dessus est de la forme $\cos(\theta_4 - q) = At_3 / R$

$$\theta_{41} = \text{atan2}\left(\sqrt{1 - \left(\frac{At_3}{R}\right)^2}, \frac{At_3}{R}\right) + \text{atan2}(Bt_3 t_4, At_3 t_4) \quad (2.5-9)$$

$$\theta_{42} = \text{atan2}\left(-\sqrt{1 - \left(\frac{At_3}{R}\right)^2}, \frac{At_3}{R}\right) + \text{atan2}(Bt_3 t_4, At_3 t_4) \quad (2.5-10)$$

2.5.2 Calcul de θ_2

A partir du système d'équation (2.2-S1)

$$\begin{cases} v \sin(\theta_2) + u \cos(\theta_2) - a_2 = a_3 \sin(\theta_3) - d_5 \cos(\theta_3 + \theta_4) & (2.2-6) \\ v \cos(\theta_2) - u \sin(\theta_2) = a_3 \cos(\theta_3) + d_5 \sin(\theta_3 + \theta_4) & (2.2-7) \end{cases}$$

$$(2.2-7) \rightarrow v \cos(\theta_2) - u \sin(\theta_2) = d_5 \sin(\theta_3 + \theta_4) + a_3 \cos(\theta_3)$$

θ_3 et θ_4 sont connues, on pose :

$$At_4 = d_5 \sin(\theta_3 + \theta_4) + a_3 \cos(\theta_3)$$

$$v = R \cdot \cos(q) \quad (2.5-11)$$

$$u = R \cdot \sin(q) \quad (2.5-12)$$

avec :

$$R = \sqrt{v^2 + u^2} \quad (2.5-13)$$

$$q = \text{atan2}(u, v) \quad (2.5-14)$$

(2.2-7), (2.5-11) et (2.5-12) →

$$\cos(q) \cdot \cos(\theta_4) - \sin(q) \cdot \sin(\theta_4) = At_4/R \quad (2.5-15)$$

L'équation ci-dessus est de la forme $\cos(\theta_4 + q) = At_4/R$

$$\theta_{21} = \text{atan2}\left(\sqrt{1 - \left(\frac{At_4}{R}\right)^2}, \frac{At_4}{R}\right) - \text{atan2}(u, v) \quad (2.5-16)$$

$$\theta_{22} = \text{atan2}\left(-\sqrt{1 - \left(\frac{At_4}{R}\right)^2}, \frac{At_4}{R}\right) - \text{atan2}(u, v) \quad (2.5-17)$$

2.6 Méthode analytique avec condition : θ_4 connue, θ_2 et θ_3 inconnues

2.6.1 Calcul de θ_2

A partir du système d'équation (2.2-S1)

$$\begin{cases} v \cdot \sin(\theta_2) + u \cdot \cos(\theta_2) - a_2 = a_3 \cdot \sin(\theta_3) - d_5 \cdot \cos(\theta_3 + \theta_4) \\ v \cdot \cos(\theta_2) - u \cdot \sin(\theta_2) = a_3 \cdot \cos(\theta_3) + d_5 \cdot \sin(\theta_3 + \theta_4) \end{cases} \quad (2.2-6)$$

$$(2.2-7)$$

A partir de la deuxième simplification : $(2.2-6)^2 + (2.2-7)^2 \rightarrow$

$$2 \cdot a_2 \cdot u \cdot \cos(\theta_2) + 2 \cdot a_2 \cdot v \cdot \sin(\theta_2) = a_2^2 + u^2 + v^2 - 2 \cdot a_3 \cdot d_5 \cdot \sin(\theta_4) - a_3^2 - d_5^2 \quad (2.6-1)$$

$$At_4t_2 = 2 \cdot a_2 \cdot u ; Bt_4t_2 = 2 \cdot a_2 \cdot v$$

$$At_4t_2 = a_2^2 + u^2 + v^2 - a_3^2 - d_5^2 - 2 \cdot a_3 \cdot d_5 \cdot \sin(\theta_4)$$

$$At_4t_2 \cdot \cos(\theta_2) + Bt_4t_2 \cdot \sin(\theta_2) = At_4t_2 \quad (2.6-2)$$

$$At_4t_2 = R \cdot \cos(q) \quad (2.6-3)$$

$$Bt_4t_2 = R \cdot \sin(q) \quad (2.6-4)$$

avec :

$$R = \sqrt{At_4t_2^2 + Bt_4t_2^2} \quad (2.6-5)$$

$$q = \text{atan2}(Bt_4t_2, At_4t_2) \quad (2.6-6)$$

(2.6-1), (2.6-3) et (2.6-4) →

$$\cos(q) \cdot \cos(\theta_2) + \sin(q) \cdot \sin(\theta_2) = At_4t_2/R \quad (2.6-7)$$

L'équation ci-dessus est de la forme $\cos(\theta_2 - q) = At_4t_2/R$

$$\theta_{21} = \text{atan2}\left(\sqrt{1 - \left(\frac{At_4t_2}{R}\right)^2}, \frac{At_4t_2}{R}\right) + \text{atan2}(Bt_4t_2, At_4t_2) \quad (2.6-8)$$

$$\theta_{22} = \text{atan2}\left(-\sqrt{1 - \left(\frac{At_4t_2}{R}\right)^2}, \frac{At_4t_2}{R}\right) + \text{atan2}(Bt_4t_2, At_4t_2) \quad (2.6-9)$$

2.6.2 Calcul de θ_3

(2.2-7) \rightarrow

$$(a_3 + d_5 \sin(\theta_4)) \cos(\theta_3) + d_5 \cos(\theta_4) \sin(\theta_3) = v \cos(\theta_2) - u \sin(\theta_2)$$

θ_2 et θ_4 étant connues, on pose :

$$At_4t_3 = a_3 + d_5 \sin(\theta_4) ; Bt_4t_3 = d_5 \cos(\theta_4)$$

$$At_4t_3t_2 = v \cos(\theta_2) - u \sin(\theta_2)$$

$$At_4t_3 \cos(\theta_3) + Bt_4t_3 \sin(\theta_3) = At_4t_3t_2 \quad (2.6-10)$$

$$At_4t_3 = R \cos(q) \quad (2.6-11)$$

$$Bt_4t_3 = R \sin(q) \quad (2.6-12)$$

avec :

$$R = \sqrt{At_4t_3^2 + Bt_4t_3^2} \quad (2.6-13)$$

$$q = \text{atan2}(Bt_4t_3, At_4t_3) \quad (2.6-14)$$

(2.6-10), (2.6-13) et (2.6-14) \rightarrow

$$\cos(q) \cos(\theta_3) + \sin(q) \sin(\theta_3) = At_4t_3t_2/R \quad (2.6-15)$$

L'équation ci-dessus est de la forme $\cos(\theta_3 - q) = At_4t_3t_2/R$

$$\theta_{31} = \text{atan2}\left(\sqrt{1 - \left(\frac{At_4t_3t_2}{R}\right)^2}, \frac{At_4t_3t_2}{R}\right) + \text{atan2}(Bt_4t_3, At_4t_3) \quad (2.6-16)$$

$$\theta_{32} = \text{atan2}\left(-\sqrt{1 - \left(\frac{At_4t_3t_2}{R}\right)^2}, \frac{At_4t_3t_2}{R}\right) + \text{atan2}(Bt_4t_3, At_4t_3) \quad (2.6-17)$$

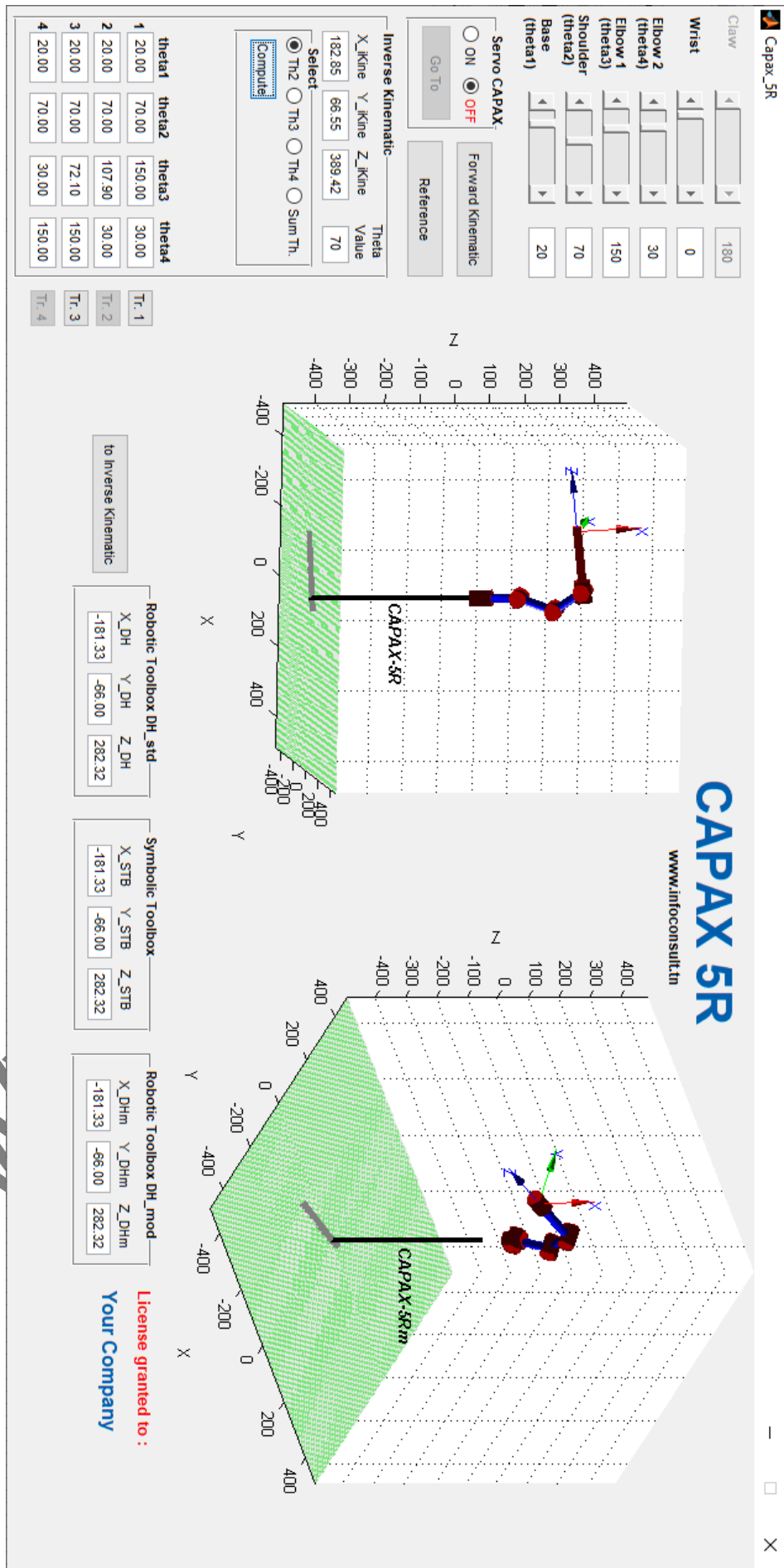


Fig. 14 : Interface Matlab Robot 5R

Annexe 1 : Formules trigonométriques usuelles pour la résolution des équations en MGI

Type	Equation	Condition	Solution
1	$\cos \theta = b$	$-1 \leq b \leq 1$	$\theta = a \tan 2(\pm\sqrt{1-b^2}, b)$; i.e., both θ and $-\theta$
2	$\sin \theta = a$	$-1 \leq a \leq 1$	$\theta = a \tan 2(a, \pm\sqrt{1-a^2})$; i.e., both θ and $(180-\theta)$
3	$\sin \theta = a$ $\cos \theta = b$	$-1 \leq a \leq 1$ $-1 \leq b \leq 1$ $a^2 + b^2 = 1$	$\theta = a \tan 2(a, b)$
4	$a \cos \theta - b \sin \theta = 0$		$\theta = a \tan 2(a, b)$ and $\theta = a \tan 2(-a, -b)$ } i.e., both θ and $(\theta \pm 180)$
5	$\sin \theta \sin \phi = a$ $\cos \theta \sin \phi = b$ $\cos \phi = c$		$\theta = a \tan 2(a, b)$ and $\theta = a \tan 2(-a, -b)$ } i.e., both θ and $(\theta \pm 180)$ $\phi = a \tan 2(\sqrt{a^2 + b^2}, c)$ and $\phi = a \tan 2(-\sqrt{a^2 + b^2}, c)$ } or $-\phi$
6	$a \cos \theta + b \sin \theta = c$	$a^2 + b^2 - c^2 \geq 0$	$\theta = a \tan 2(b, a) + a \tan 2(\pm\sqrt{a^2 + b^2 - c^2}, c)$
7	$a \cos \theta - b \sin \theta = c$ $a \sin \theta + b \cos \theta = d$	$a^2 + b^2 = c^2 + d^2$	$\theta = a \tan 2(ad - bc, ac + bd)$ $a^2 + b^2 = c^2 + d^2$
8	$a \cos \theta + c \sin \theta = d$ $e \cos \theta + f \sin \theta = g$	$af - ce > 0$	$\theta = a \tan 2(ag - de, df - cg)$
9	Si l'équation est non linéaire, utiliser les transformations suivantes : $\cos \theta = \frac{1 - u^2}{1 + u^2}$ $\sin \theta = \frac{2u}{1 + u^2}$ $u = \tan\left(\frac{\theta}{2}\right) \rightarrow \theta = 2 \tan^{-1}(u)$		
<p>Rq :</p> <ul style="list-style-type: none"> ☼ $\theta = \text{atan2}(y, x)$ est la fonction inverse de la tangente d'un angle rapporté au quatre quadrant du cercle trigonométrique où $y = \sin \theta$, $x = \cos \theta$. ☼ ϕ correspond à θ, $-\phi$ correspond à $\theta \pm 180$ 			